

9stufige Grauskalierung zwischen $L^*_{0aN}=29.4$ und $L^*_{0aW}=78.4$, $Y_{0ref}=3.6$, Normierung Weiß W

$L^*_{0aN}=29.4$, $L^*_{0aU}=53.9$, $L^*_{0aW}=78.5$, $Y_{0aN}=6.0$, $Y_{0aU}=21.9$, $Y_{0aW}=54.0$, $C_{0aY}=Y_{0aW}:Y_{0aN}=9.0$

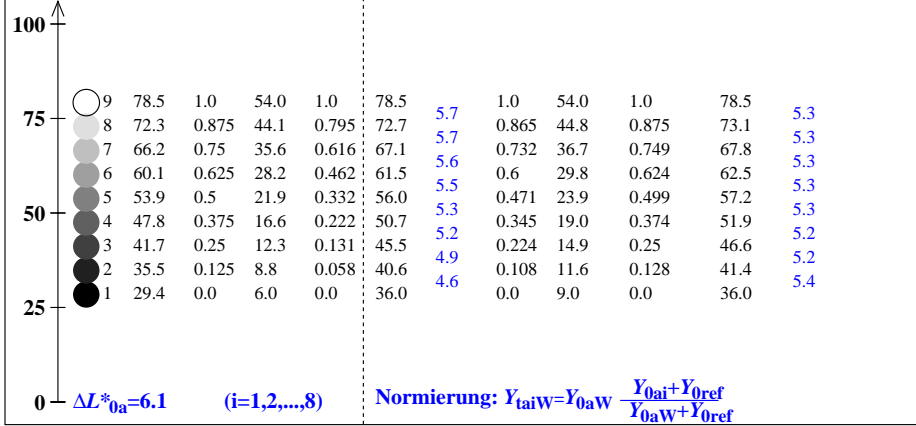
$L^*_{taN}=36.0$, $L^*_{taU}=56.0$, $L^*_{taW}=78.5$, $Y_{taN}=9.0$, $Y_{taU}=23.9$, $Y_{taW}=54.0$, $C_{taY}=Y_{taW}:Y_{taN}=6.0$

Regularitätsindex nach ISO/IEC 15775:2022, Anhang G für 5 und 9 Stufen

$g^* = 100 [\Delta L^*_{min}] / [\Delta L^*_{max}]$, $L^*_{CIELAB} = 116 [Y/Y_n]^{1/3} - 16$ mit $Y \geq 0.882$, $Y_n=100$

$g^*_5 = 99$, $g^*_9 = 99$ $g^*_5 = 83$, $g^*_9 = 80$ $g^*_5 = 99$, $g^*_9 = 96$

L^*_{CIELAB} angestrebte Ausgabe reale Ausgabe linearisierte Ausgabe
n0.i L*0a L*0r Y0a Y0r L*ta ΔL^*_{ta} L*tr Yta $(L^*tr)^{1/1.08}$ L*la ΔL^*_{la}



9stufige Grauskalierung zwischen $L^*_{0aN}=29.4$ und $L^*_{0aW}=78.4$, $Y_{0ref}=1.8$, Normierung Weiß W

$L^*_{0aN}=29.4$, $L^*_{0aU}=53.9$, $L^*_{0aW}=78.5$, $Y_{0aN}=6.0$, $Y_{0aU}=21.9$, $Y_{0aW}=54.0$, $C_{0aY}=Y_{0aW}:Y_{0aN}=9.0$

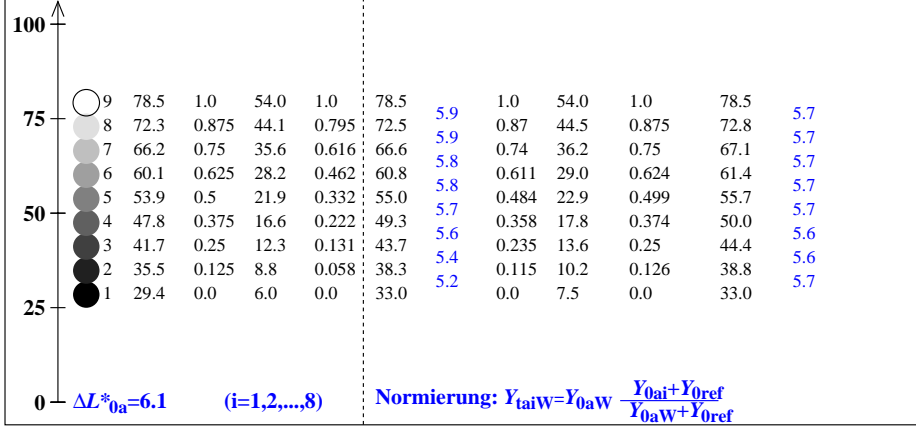
$L^*_{taN}=33.0$, $L^*_{taU}=55.0$, $L^*_{taW}=78.5$, $Y_{taN}=7.5$, $Y_{taU}=22.9$, $Y_{taW}=54.0$, $C_{taY}=Y_{taW}:Y_{taN}=7.1$

Regularitätsindex nach ISO/IEC 15775:2022, Anhang G für 5 und 9 Stufen

$g^* = 100 [\Delta L^*_{min}] / [\Delta L^*_{max}]$, $L^*_{CIELAB} = 116 [Y/Y_n]^{1/3} - 16$ mit $Y \geq 0.882$, $Y_n=100$

$g^*_5 = 99$, $g^*_9 = 99$ $g^*_5 = 90$, $g^*_9 = 88$ $g^*_5 = 99$, $g^*_9 = 98$

L^*_{CIELAB} angestrebte Ausgabe reale Ausgabe linearisierte Ausgabe
n0.i L*0a L*0r Y0a Y0r L*ta ΔL^*_{ta} L*tr Yta $(L^*tr)^{1/1.04}$ L*la ΔL^*_{la}



9stufige Grauskalierung zwischen $L^*_{0aN}=29.4$ und $L^*_{0aW}=78.4$, $Y_{0ref}=0.9$, Normierung Weiß W

$L^*_{0aN}=29.4$, $L^*_{0aU}=53.9$, $L^*_{0aW}=78.5$, $Y_{0aN}=6.0$, $Y_{0aU}=21.9$, $Y_{0aW}=54.0$, $C_{0aY}=Y_{0aW}:Y_{0aN}=9.0$

$L^*_{taN}=31.3$, $L^*_{taU}=54.5$, $L^*_{taW}=78.5$, $Y_{taN}=6.8$, $Y_{taU}=22.4$, $Y_{taW}=54.0$, $C_{taY}=Y_{taW}:Y_{taN}=7.9$

Regularitätsindex nach ISO/IEC 15775:2022, Anhang G für 5 und 9 Stufen

$g^* = 100 [\Delta L^*_{min}] / [\Delta L^*_{max}]$, $L^*_{CIELAB} = 116 [Y/Y_n]^{1/3} - 16$ mit $Y \geq 0.882$, $Y_n=100$

$g^*_5 = 99$, $g^*_9 = 99$ $g^*_5 = 94$, $g^*_9 = 93$ $g^*_5 = 99$, $g^*_9 = 99$

L^*_{CIELAB} angestrebte Ausgabe reale Ausgabe linearisierte Ausgabe
n0.i L*0a L*0r Y0a Y0r L*ta ΔL^*_{ta} L*tr Yta $(L^*tr)^{1/1.02}$ L*la ΔL^*_{la}

9stufige Grauskalierung zwischen $L^*_{0aN}=29.4$ und $L^*_{0aW}=78.4$, $Y_{0ref}=54.0$, Normierung Weiß W

$L^*_{0aN}=29.4$, $L^*_{0aU}=53.9$, $L^*_{0aW}=78.5$, $Y_{0aN}=6.0$, $Y_{0aU}=21.9$, $Y_{0aW}=54.0$, $C_{0aY}=Y_{0aW}:Y_{0aN}=9.0$

$L^*_{taN}=61.6$, $L^*_{taU}=68.0$, $L^*_{taW}=78.5$, $Y_{taN}=30.0$, $Y_{taU}=38.0$, $Y_{taW}=54.0$, $C_{taY}=Y_{taW}:Y_{taN}=1.8$

Regularitätsindex nach ISO/IEC 15775:2022, Anhang G für 5 und 9 Stufen

$g^* = 100 [\Delta L^*_{min}] / [\Delta L^*_{max}]$, $L^*_{CIELAB} = 116 [Y/Y_n]^{1/3} - 16$ mit $Y \geq 0.882$, $Y_n=100$

$g^*_5 = 99$, $g^*_9 = 99$ $g^*_5 = 45$, $g^*_9 = 39$ $g^*_5 = 89$, $g^*_9 = 78$

L^*_{CIELAB} angestrebte Ausgabe reale Ausgabe linearisierte Ausgabe
n0.i L*0a L*0r Y0a Y0r L*ta ΔL^*_{ta} L*tr Yta $(L^*tr)^{1/1.38}$ L*la ΔL^*_{la}

